

© 1994 г.

ВЛИЯНИЕ КОНЦЕНТРАЦИИ УГЛЕРОДА НА СВОЙСТВА СТРУКТУРНОЙ СЕТКИ В СПЛАВАХ $a\text{-Si}_{1-x}\text{C}_x\text{:H}$

А.М. Данишевский, И.Н. Трапезникова, Е.И. Теруков, М.Б. Полов

Физико-технический институт им. А.Ф. Иоффе Российской академии наук,
194021, Санкт-Петербург, Россия

(Получена 5 апреля 1994 г. Принята к печати 11 апреля 1994 г.)

Колебательные свойства неупорядоченной структурной сетки образцов $a\text{-Si}_{1-x}\text{C}_x\text{:H}$ с различным содержанием углерода, полученных осаждением в высокочастотном тлеющем разряде из смеси $\text{SiH}_4 + \text{C}_2\text{H}_2 + \text{Ar} + \text{O}_2$, исследованы методами рamanовской спектроскопии и спектроскопии инфракрасного поглощения. Характеризация пленок осуществлялась с помощью оже-спектроскопии и спектроскопии краевого поглощения. Полученные спектральные особенности и их модификация с изменением состава идентифицированы с различными типами колебаний связей атомов, входящих в структурную сетку аморфного материала.

1. Введение

Аморфный сплав $a\text{-Si}_{1-x}\text{C}_x\text{:H}$ представляет интерес с точки зрения целого ряда применений и поэтому интенсивно изучается. Его получают несколькими методами, такими как реактивное распыление, плазмохимическое осаждение в высокочастотном тлеющем разряде (ПХОВТР) и ряд других. В случае ПХОВТР к силану (SiH_4) добавляется один из углеродсодержащих газов, как, например, CH_4 , C_2H_4 и др. В каждом из этих вариантов свойства полученных пленок несколько различаются, так как углерод может входить в неупорядоченную структурную сетку, не просто связываясь, скажем, с атомами кремния, а в виде определенных углерод-водородных групп типа $\text{Si}-\text{CH}$, $\text{Si}-\text{CH}_2$, $\text{Si}-\text{CH}_3$. Поэтому в каждом случае необходимым является контроль содержания углерода и водорода, исследование структуры неупорядоченной сетки, а также электронных свойств полученных образцов.

Исследование структуры неупорядоченной сетки и колебательных свойств в сплавах $a\text{-Si}_{1-x}\text{C}_x\text{:H}$ методом рamanовского рассеяния проводилось в относительно небольшом количестве работ, причем в ранних работах использовались недостаточно совершенные образцы, полученные методом распыления. По-видимому, впервые рamanовские спектры $a\text{-SiC:H}$ на пленках, полученных методом ПХОВТР, были приведены в [1]. В этой работе использовались образцы, полученные из газовой

смеси $\text{SiH}_4 + \text{CH}_4$. Следует сказать, что содержание углерода в структурной сетке аморфного сплава оказывается в этом случае существенно меньшим, чем процентное содержание метана в разрядной камере. В случае смеси, например, с ацетиленом (C_2H_2), которая использовалась в данной работе, содержание углерода в пленке приблизительно соответствует процентному содержанию в смеси углеродсодержащего газа. Существенным является и содержание водорода в пленке, которое при осаждении из смеси с ацетиленом оказывается иным по сравнению с метановыми смесями одинаковых пропорций.

В работе [2] было показано, что в случае двойных сплавов $a\text{-Si:H}$ концентрация водорода существенно влияет на распределение углов связи в структурной сетке аморфного кремния, и это, в частности, определяет уширение TO -полосы в рамановском спектре $a\text{-Si}_{1-x}\text{C}_x\text{:H}$. Концентрация водорода и тип кремний-водородных связей в значительной степени влияет также и на интенсивность TA -полосы [2], т.е. на упорядоченность кремниевых тетраэдров.

2. Экспериментальные результаты

В данной работе проводились исследования спектров оптического поглощения и рамановского рассеяния пленок $a\text{-Si}_{1-x}\text{C}_x\text{:H}$, осажденных в высокочастотном тлеющем разряде из смесей $\text{SiH}_4 + \text{C}_2\text{H}_2 + \text{Ar}$ на кремниевые и кварцевые подложки. Концентрация углерода и водорода в пленках определялась с помощью оже-спектроскопии и контролировалась по инфракрасным (ИК) спектрам оптического поглощения. Поскольку данные пленки выращивались для определенных приложений, необходимо было в максимальной степени понизить их электропроводность при комнатной температуре. Это достигалось добавлением в газовую смесь небольшой концентрации кислорода.

В таблице приведены концентрации водорода [H] в образцах с различным содержанием углерода [C]. Там же показаны значения энергии межзонного зазора E_0 , полученные из спектров краевого поглощения с использованием аппроксимации $(\alpha\hbar\omega)^{0.5} = B(\hbar\omega - E_0)$ (рис. 1) (α — коэффициент поглощения). На вставке к рис. 1 показана зависимость $E_0(x)$.

На рис. 2 приведены рамановские спектры образцов, полученные в геометрии обратного рассеяния. Возбуждение осуществлялось излучением с энергией кванта 2.54 эВ и мощностью 100 мВт, шаг сканирования — 4 cm^{-1} . В спектрах образцов с небольшим содержанием углерода (до 20 ат%) присутствуют обычно наблюдаемые в $a\text{-Si:H}$ спектральные полосы первого порядка, обозначаемые по аналогии с кристаллическим кремнием как TA , LA , LO и TO . Далее в спектрах

[C], ат%	[H], ат%	E_0 , эВ
0	9.4	1.9
5	9.5	1.97
10	9.5	2.14
20	27.8	1.97
50	52.2	2.25
60	51.4	2.4

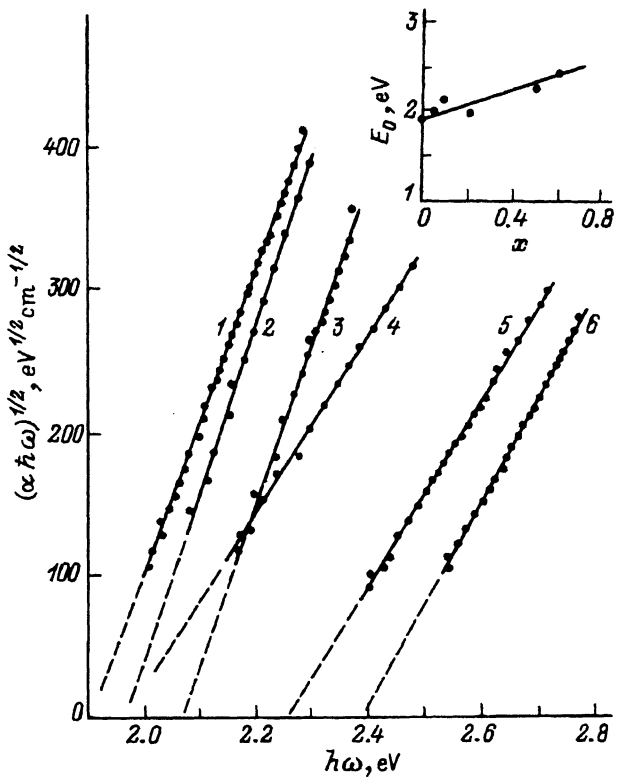


Рис. 1. Край поглощения исследованных пленок $a\text{-Si}_{1-x}\text{C}_x\text{:H}$, осажденных на подложки из плавленного кварца. x : 1 — 0, 2 — 0.05, 3 — 0.1, 4 — 0.2, 5 — 0.5, 6 — 0.6. $T = 300$ К. На вставке — зависимость оптической ширины запрещенной зоны, определенной по краю поглощения, от состава.

имеются полосы второго порядка $2LA$ и $2TO$ и, наконец, в окрестности 2020 — 2070 cm^{-1} (для образцов разного состава) наблюдаются полосы кремний-водородных колебаний.

Для образцов с большим содержанием углерода (> 50 ат%), помимо спектральных особенностей, указанных выше и значительно модифицированных, появляется полоса с максимумом при 1450 cm^{-1} , связанная с колебаниями углеродных атомов (С—С).

С увеличением x возрастает энергия межзонного зазора $a\text{-Si}_{1-x}\text{C}_x\text{:H}$ и уменьшается коэффициент поглощения для энергии кванта возбуждающего лазерного излучения. Поэтому увеличивается рассеивающий объем и, по-видимому, именно этим фактором можно в первую очередь объяснить существенное нарастание интенсивности всех линий в спектрах рамановского рассеяния (а также и фона) с увеличением x . В связи с этим же при больших x в спектрах рамановского рассеяния наблюдается узкая линия 520 cm^{-1} , обусловленная кристаллической кремниевой подложкой. В образцах с большим содержанием углерода, помимо общего увеличения фона рассеяния, при рамановских сдвигах более 1400 cm^{-1} наблюдается существенный подъем в спектре, который, возможно, связан с проявлением широкой полосы фотолюминесценции.

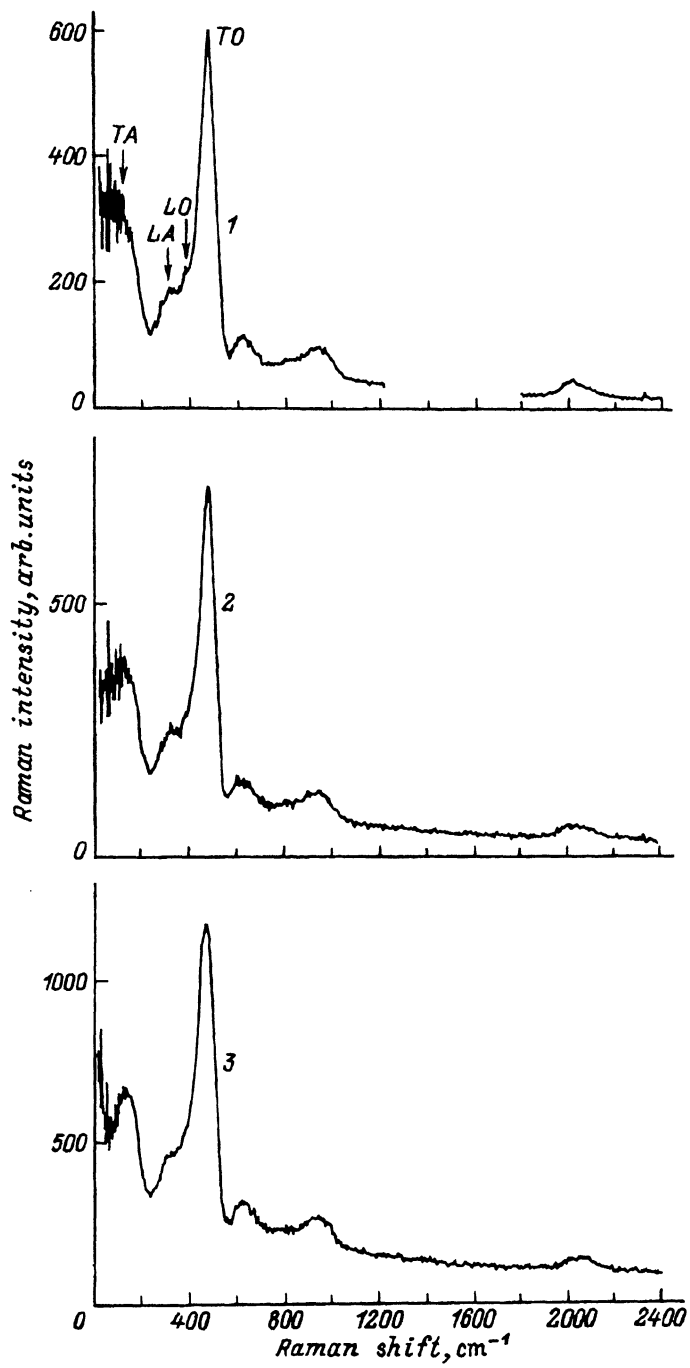


Рис. 2. Спектры рамановского рассеяния образцов $a\text{-Si}_{1-x}\text{C}_x\text{:H}$. Обозначения те же, что на рис. 1.

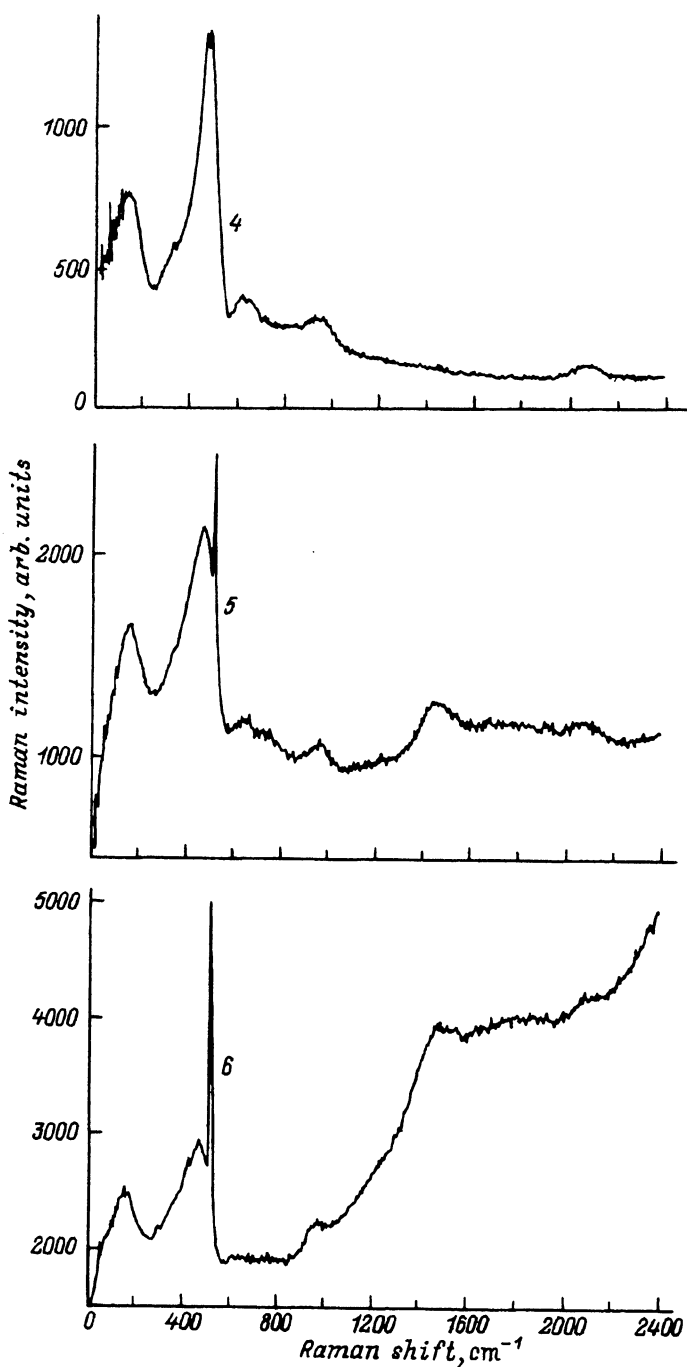


Рис. 2. Продолжение.

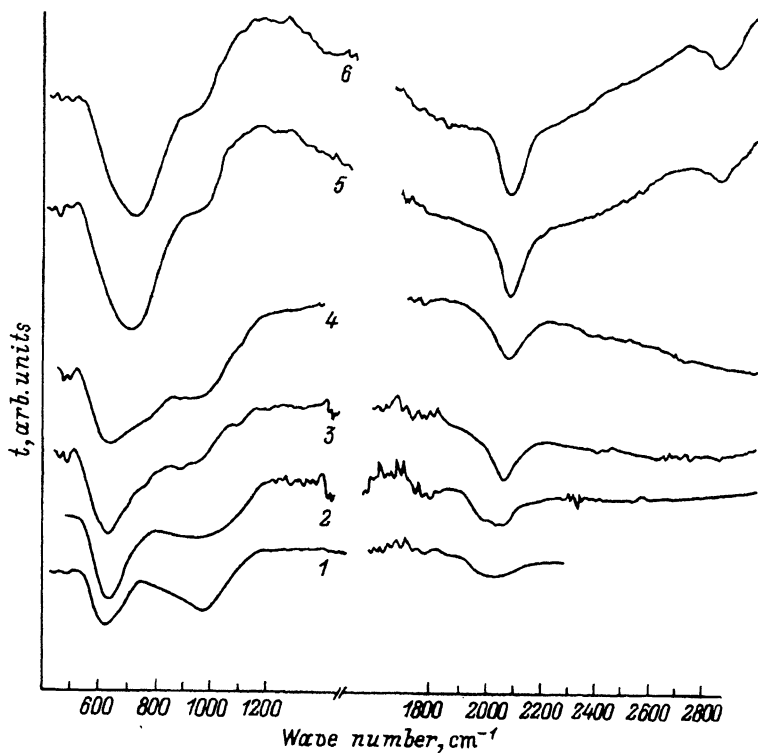


Рис. 3. Спектры оптического пропускания t пленок $a\text{-Si}_{1-x}\text{C}_x\text{:H}$, осажденных на кремниевые подложки. x : 1 — 0, 2 — 0.05, 3 — 0.1, 4 — 0.2, 5 — 0.5, 6 — 0.6.

На рис. 3 для сопоставления со спектрами рамановского рассеяния приведены спектры ИК поглощения тех же пленок $a\text{-SiC:H}$ с различным содержанием углерода. Рамановские и ИК моды не могут существовать в системах, имеющих локальную инверсионную симметрию. Однако для многих типов связей в $a\text{-Si}_{1-x}\text{C}_x\text{:H}$ такой симметрии не имеется. Поэтому некоторые типы колебаний могут давать вклад и в рамановское рассеяние и в ИК спектры.

Помимо полос поглощения, обычно наблюдаемых в $a\text{-Si:H}$, в спектре образца с нулевым содержанием углерода имеется широкая асимметричная полоса с максимумом при 980 cm^{-1} . Указанный максимум соответствует валентным колебаниям связей Si—O—Si, модифицированных наличием в структурной сетке значительных концентраций водорода [3].

3. Обсуждение результатов

Рассмотрим изменения в рамановских спектрах $a\text{-Si}_{1-x}\text{C}_x\text{:H}$, возникающие при увеличении содержания углерода. На рис. 4 показаны спектры в диапазоне $100\text{--}700\text{ cm}^{-1}$ для трех образцов, соответствующих различным значениям x . Наиболее заметное изменение в спектре с увеличением x — это существенное уширение TO -полосы. Кроме того, с увеличением x возрастает и интенсивность LO -полосы, которая, сливаясь с низкочастотным краем TO -полосы, приводит к неоднородности ее

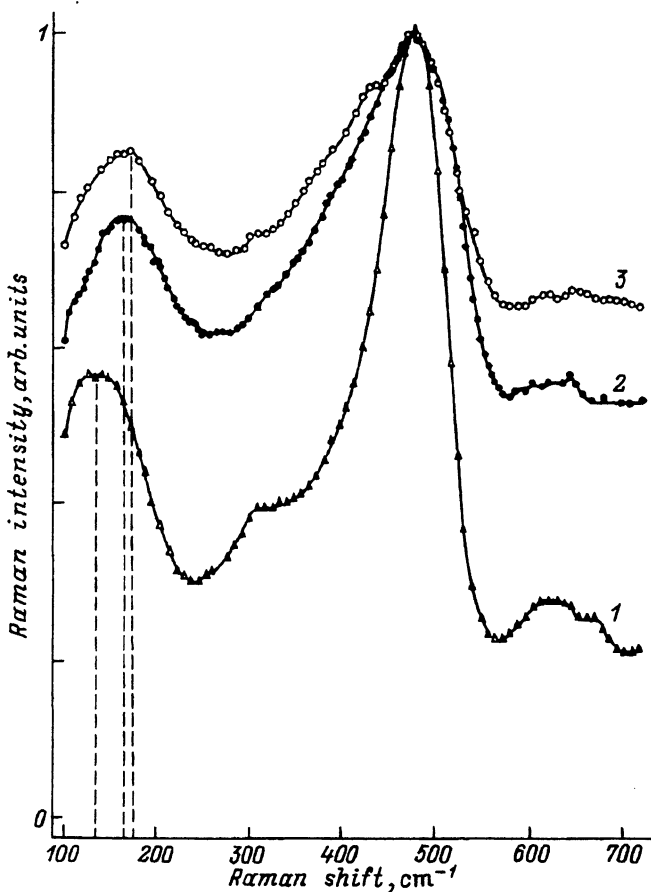


Рис. 4. Фрагмент рамановского спектра в диапазоне $100\text{--}720\text{ cm}^{-1}$ для образцов $a\text{-Si}_{1-x}\text{C}_x\text{:H}$. 1 — 0.1, 2 — 0.5, 3 — 0.6.

уширения. При больших x LA -мода также сливается с низкоэнергетичным краем $T\bar{O}$ -полосы. Анализ различных теоретических построений [3] и экспериментальных данных [4,5] для $a\text{-Si:H}$ позволил установить, что ширина $T\bar{O}$ -полосы в основном определяется шириной распределения углов связи атомов кремния в неупорядоченной структурной сетке. Основной причиной увеличения $\Delta\omega_{TO}$ в $a\text{-Si:H}$, по мнению авторов [4,5], являются локальные напряжения. Внедрение в аморфную сетку атомов углерода увеличивает локальные напряжения вокруг атомов кремния [6] вследствие того, что их ковалентный радиус намного меньше, чем у атомов кремния. Из рис. 4 также видно, что с увеличением x несколько возрастает стоксов сдвиг TA -полосы. TA -мода, как установлено в [7], вообще говоря, обусловлена четырехкратной координацией атомов кремния, но частично на нее влияют периодические взаимодействия среднего и дальнего порядка. В частности, авторы [8], исследовавшие нейтронное рассеяние в $a\text{-Si:H}$ для описания TA -моды предложили модель изгибных колебаний связи. Предполагается, что она ответственна за колебания структурных фрагментов, состоящих из

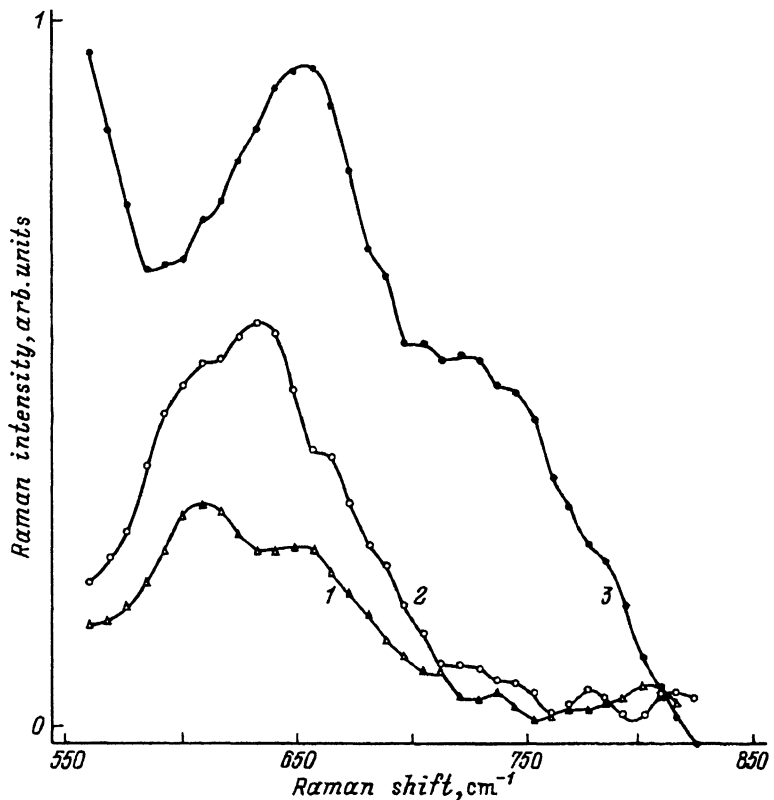


Рис. 5. Фрагмент рамановского спектра с вычитанием фона в диапазоне $550-850 \text{ см}^{-1}$ для образцов $a\text{-Si}_{1-x}\text{C}_x\text{:H}$. x : 1 — 0.05, 2 — 0.1, 3 — 0.5.

восьми атомов Si, масштаба 4–5 Å. Внедрение в указанные структурные фрагменты более легких атомов углерода, естественно, должно приводить к увеличению частоты их колебаний, что и наблюдается в приведенных результатах экспериментов. Таким образом, этот факт, на наш взгляд, подтверждает предположения авторов [8].

В спектроскопии ИК поглощения в $a\text{-Si:H}$ обычно анализируются различные полосы колебаний Si-H. Они должны проявляться и в рамановских спектрах. Из рис. 5, где показан участок рамановских спектров $550-800 \text{ см}^{-1}$ для образцов с различным содержанием углерода, видно, что помимо обычно отмечаемой всеми авторами $2LA$ -полосы (610 см^{-1}) аморфного кремния уже при $x = 0.05$ имеется плечо, а при $x = 0.1$ возникает пик на частоте 635 см^{-1} , что может соответствовать различным типам колебаний Si-H_n ($n = 1-3$). По-видимому, основной здесь является изгибная мода колебаний связи Si-H. Помимо этого имеется особенность в окрестности 660 см^{-1} , которую предположительно можно связать с изгибными колебаниями связей Si-O-Si. В наших спектрах ИК поглощения данная полоса не разрешается.

При достаточно высоком содержании углерода ($x > 0.2$) в ИК спектрах отчетливо проявляется полоса колебаний Si-C в окрестности $670-680 \text{ см}^{-1}$. В рамановских спектрах эта полоса обычно не наблю-

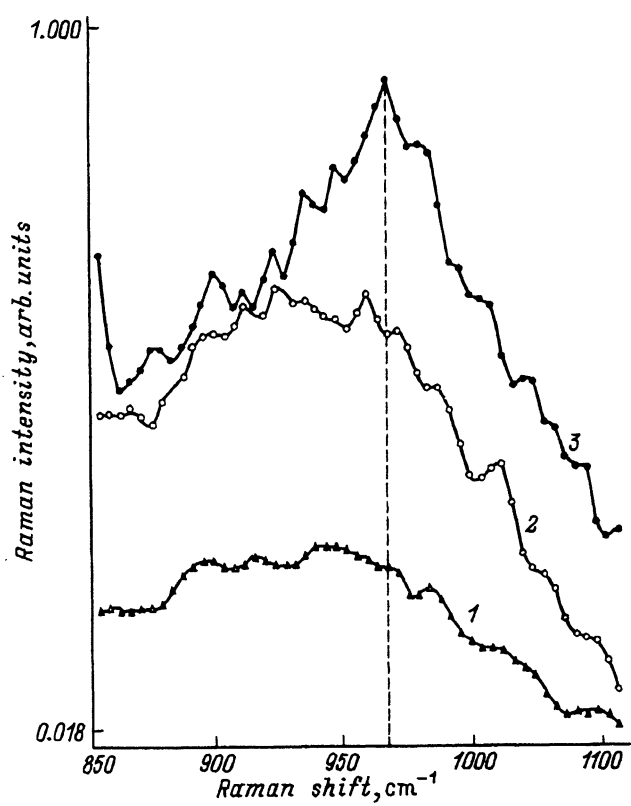


Рис. 6. Фрагмент рамановского спектра с вычитанием фона в диапазоне $860-1060\text{ см}^{-1}$ для образцов $a\text{-Si}_{1-x}\text{C}_x\text{:H}$. x : 1 — 0.05, 2 — 0.2, 3 — 0.5.

дается. В представленных на рис. 5 спектрах в окрестности 670 см^{-1} имеется лишь слабая особенность, однако со стороны больших энергий наблюдается заметное плечо ($x = 0.5$), соответствующее широкой полосе с максимумом около 735 см^{-1} . По-видимому, она связана с колебаниями кремний-углеводородных групп [9].

В окрестности $900-1000\text{ см}^{-1}$ в рамановских спектрах (рис. 6) имеется широкая полоса, известная для $a\text{-Si:H}$ как $2TO$ -мода. Однако для наших образцов $a\text{-Si}_{1-x}\text{C}_x\text{:H}$ с большим содержанием углерода в области указанной полосы вблизи 980 см^{-1} вырастает резкий пик, известный в ИК спектроскопии как обусловленный валентными колебаниями связи Si-O-Si, модифицированными наличием связи одного из кремниевых атомов с атомом водорода. Интересно, что резкое нарастание кремний-кислородной полосы имеет место именно в образцах с большим содержанием углерода. Как следует из таблицы, в этих образцах увеличено содержание водорода, но, по-видимому, при больших значениях x в объеме пленки имеется и большее количество кислорода.

Довольно широкая полоса с максимумом 1450 см^{-1} , появляющаяся при достаточно большом содержании углерода, наблюдалась в ряде работ по рамановскому рассеянию в образцах $a\text{-SiC}$. Впервые она была зарегистрирована при изучении пленок, полученных методом распыле-

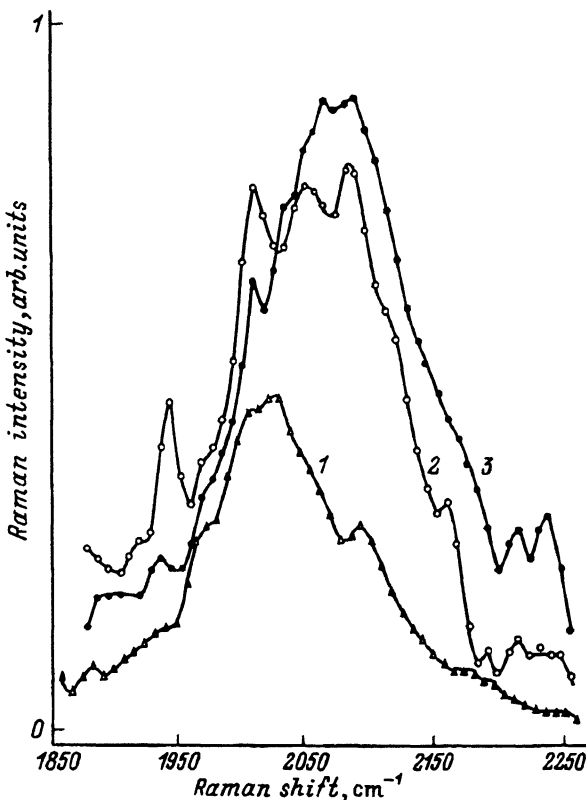


Рис. 7. Фрагмент рамановского спектра с вычитанием фона в диапазоне $1860\text{--}2260\text{ см}^{-1}$ для образцов $a\text{-Si}_{1-x}\text{C}_x\text{:H}$. x : 1 — 0, 2 — 0.1, 3 — 0.2.

ния, [10]. Авторы [10] пришли к заключению, что данная полоса связана с наложением колебательных мод трех- и четырехкоординированного углерода в неупорядоченной структурной сетке $a\text{-SiC}$. В приведенных здесь спектрах для образца с $x = 0.5$ указанная полоса достаточно однородна, но для $x = 0.6$ она слегка расщепляется на две с максимумами 1470 и 1535 см^{-1} . В работе [11] в рамановском спектре $a\text{-C}$ наблюдалась полоса 1450 см^{-1} , которая при отжиге до 900°C расщеплялась на две с максимумами 1355 и 1575 см^{-1} . Авторы связывали указанный факт с наличием кристаллических кластеров, возникших в процессе отжига. Возможно, в нашем случае указанное расщепление также связано с начальной стадией формирования зародышей микрокристаллитов.

При внедрении в неупорядоченную структурную сетку $a\text{-Si}_{1-x}\text{C}_x\text{:H}$ атомов углерода изменяется и характер полосы рамановского спектра в окрестности 2010 см^{-1} , связанной с валентной модой Si-H. Максимум ее сдвигается в сторону больших энергий, достигая приблизительно 2090 см^{-1} (рис. 7). Такое смещение с увеличением x изучалось в работе [9] в ИК спектрах оптического поглощения. Авторы предлагают модель, согласно которой смещение линий вызывается изменением эффективного заряда в окрестности атома кремния за счет присоединения к нему одного, двух или трех атомов углерода (или углерод-водородных

групп) по мере увеличения x . Учитывается также изменение поляризуемости локального окружения. Другой возможный механизм, приводящий к смещению полосы, обусловлен увеличением вклада связей SiH_2 или $(\text{SiH}_2)_n$. Это тем более реально, что с увеличением x возрастает и содержание водорода в пленке.

В последних работах по ИК поглощению $a\text{-Si}_{1-x}\text{C}_x\text{:H}$ [12–14] имела место дискуссия о том, что играет большую роль в сдвиге кремний-водородных валентных мод с увеличением x . При этом обсуждалось упомянутое выше индуктивное влияние углерода, образование связей SiH_2 , а также вопрос об увеличении с возрастанием x концентрации объемных микропор, на стенах которых возникают кремний-водородные, преимущественно моногидридные, связи. Авторы [12, 14] приходят к выводу, что имеет место не сдвиг полосы 2006 cm^{-1} в их спектрах, а постепенное нарастание с увеличением x полосы 2085 cm^{-1} , связанной с колебаниями $\text{Si}-\text{H}$ атомов, расположенных на поверхностях полых объемов в пленке. Этот результат подтверждается исследованиями ИК поглощения имплантированного водородом кристаллического кремния с искусственно созданными порами [15]. Авторы [15] также приходят к выводу о том, что полоса 2085 cm^{-1} связана с водородом, локализованным именно на поверхности пор, в случае, когда один атом водорода присоединен к трем атомам кремния. Такой вывод относительно полученных в [15] результатов авторы обосновывают отсутствием моды «ножницеобразных» колебаний связей $\text{Si}-\text{H}_2$ в окрестности $850\text{--}950 \text{ cm}^{-1}$. Аналогичные аргументы в пользу низкого содержания фракции $\text{Si}-\text{H}_2$ были приведены и в работе [12].

Для пленок, полученных в рамках данной работы, такой вывод был бы не столь однозначен, так как в спектрах ИК поглощения в окрестности $850\text{--}950 \text{ cm}^{-1}$ имеются некие особенности и, кроме того, даже в образце с $x = 0$ структура полосы в окрестности $2000\text{--}2100 \text{ cm}^{-1}$ является сложной и ее можно разложить на полосы 2006 и 2085 cm^{-1} . С увеличением x полоса $2085\text{--}2090 \text{ cm}^{-1}$ нарастает, и уже при $x = 0.2$ она превалирует в данном спектральном интервале. Поэтому мы склонны полагать, что в нашем случае смещение указанной полосы, возможно, частично и вызвано увеличением количества пор, но также и увеличением содержания фракции $\text{Si}-\text{H}_2$ с возрастанием x . Нами не проводилось каких-либо исследований, дающих непосредственную информацию о концентрации пор, и поэтому данный вопрос пока остается открытым.

В заключение можно сказать, что в данной работе проведены исследования колебательных мод неупорядоченной структурной сетки сплава $a\text{-Si}_{1-x}\text{C}_x\text{:H}$ методами рамановской спектроскопии и спектроскопии ИК поглощения, проанализированы различные возможности идентификации наблюдаемых полос спектров и их модификации с увеличением параметра x .

Авторы выражают искреннюю благодарность Д.И. Лимовой-Малиновской за помощь в получении части приведенных в статье экспериментальных результатов.

Работа выполнена при частичной поддержке USA Department of Defense.

Список литературы

- [1] A. Morimoto, S. Oozora, M. Kumeda, T. Shimizu. Sol. St. Commun., **47**, 773 (1983).
- [2] N. Malley, J.S. Lannin. Phys. Rev. B, **36**, 1146 (1987).
- [3] G.A.N. Connel. In: *Amorphous Semiconductors*, ed. by M.H. Brodsky (Springer-Verlag, N.Y., 1979) p. 295.
- [4] J.S. Lannin. J. Non-Cryst. Sol., **97/98**, 39 (1987); Phys. Rev. B, **26**, 3506 (1982).
- [5] R. Tsu, J.G. Hernander, F.H. Pollak. J. Non-Cryst. Sol., **66**, 109 (1984).
- [6] A. Morimoto, T. Miura, M. Kumeda, T. Shimizu. Japan J. Appl. Phys., **22**, 908 (1983).
- [7] R. Alben, D. Weaire, J.E. Smith, M.H. Brodsky. Phys. Rev. B, **11**, 2275 (1975).
- [8] U. Buchenau et. al. Europ. Lett., **6**, 695 (1988).
- [9] H. Wieder, M. Cardona, C.R. Guarnieri. Phys. St. Sol. (b), **92**, 99 (1979).
- [10] M. Gorman, S.A. Solin. Sol. St. Commun., **15**, 761 (1974).
- [11] A. Morimoto, T. Kataoka, M. Kumeda, T. Shimizu. Phil. Mag. B, **50**, 517 (1984).
- [12] R.R. Koropecki, F. Alvarez, R. Arce. J. Appl. Phys., **69**, 7805 (1991).
- [13] E. Sacher. J. Appl. Phys., **71**, 4091 (1992).
- [14] R.R. Koropecki, F. Alvarez, R. Arce. J. Appl. Phys., **71**, 4092 (1992).
- [15] H.J. Stein, S.H. Huers, D.M. Follstaedt. J. Appl. Phys., **73**, 2775 (1993).

Редактор Л.В. Шаронова
